

$\alpha\text{-NH}_4\text{Fe}(\text{HAsO}_4)_2$

Najoua Ouerfelli, Amira Souilem,* Mohamed Faouzi Zid and Ahmed Driss

Laboratoire de Matériaux et Cristallochimie, Faculté des Sciences de Tunis, Université de Tunis El Manar, 2092 Manar II Tunis, Tunisia
Correspondence e-mail: souilem_amira@yahoo.fr

Received 22 March 2014; accepted 16 April 2014

Key indicators: single-crystal X-ray study; $T = 298$ K; mean $\sigma(\text{As}-\text{O}) = 0.003$ Å; R factor = 0.027; wR factor = 0.075; data-to-parameter ratio = 12.0.

The title compound α -ammonium iron(III) bis[hydrogen arsenate(V)], $\alpha\text{-NH}_4\text{Fe}(\text{HAsO}_4)_2$ (or poly[ammonium bis(μ -hydrogen arsenato)ferrate(III)], $\{\text{NH}_4[\text{Fe}(\text{HAsO}_4)_2]\}_n$), synthesized hydrothermally, is isostructural with $\text{NH}_4\text{Fe}(\text{HPO}_4)_2$. Condensation of the hydrogen arsenate groups with FeO_6 coordination octahedra via common corners results in an overall three-dimensional framework containing interconnected channels parallel to the a -, b - and c -axis directions. The NH_4^+ cations are located in three intersecting tunnels, which is promising as an ion exchange. Hydrogen bonding of the types $\text{O}-\text{H}\cdots\text{O}$ and $\text{N}-\text{H}\cdots\text{O}$ consolidates the packing of the structure. The distortion of the coordination polyhedra is analyzed by means of the effective coordination number and distortion indices. Structural relationships with other compounds of general formula $M^I M^{III}[\text{HXO}_4]_2$ ($X = \text{P}, \text{As}$) are discussed.

Related literature

For related compounds and structures, see: Yakubovich (1993); Lesage *et al.* (2007); Lii & Wu (1994); Haushalter *et al.* (1995); Bircsak & Harrison (1998); Stalder & Wilkinson (1998); Yan *et al.* (2000); Schwendtner & Kolitsch (2004b). For similar materials, see: Huang *et al.* (2004); Ewald *et al.* (2004); Filaretov *et al.* (2002); Guesdon *et al.* (2009); Guranova *et al.* (2001); Menezes *et al.* (2008, 2009a,b); Mao *et al.* (2002); Schwendtner & Kolitsch (2004a); Vencato *et al.* (1989); Villars *et al.* (2007). For ECoN and ID distortion parameters, see: Baur (1974); Wildner (1992); Nespolo (2001); Nespolo *et al.* (2001). For bond-valence sums, see: Brown & Altermatt (1985).

Experimental

Crystal data

$(\text{NH}_4)\text{Fe}(\text{HAsO}_4)_2$
 $M_r = 353.75$

Triclinic, $P\bar{1}$
 $a = 7.3473 (7)$ Å

$b = 9.1917 (8)$ Å
 $c = 9.7504 (9)$ Å
 $\alpha = 64.545 (5)^\circ$
 $\beta = 70.710 (7)^\circ$
 $\gamma = 69.638 (6)^\circ$
 $V = 544.55 (9)$ Å³

$Z = 3$
Mo $K\alpha$ radiation
 $\mu = 11.14$ mm⁻¹
 $T = 298$ K
 $0.21 \times 0.13 \times 0.09$ mm

Data collection

Enraf–Nonius CAD-4
diffractometer
Absorption correction: ψ scan
(North *et al.*, 1968)
 $T_{\min} = 0.187$, $T_{\max} = 0.388$
2737 measured reflections

2373 independent reflections
2121 reflections with $I > 2\sigma(I)$
 $R_{\text{int}} = 0.021$
2 standard reflections every 120 min
intensity decay: 1.1%

Refinement

$R[F^2 > 2\sigma(F^2)] = 0.027$
 $wR(F^2) = 0.075$
 $S = 1.05$
2373 reflections
197 parameters
8 restraints

H atoms treated by a mixture of
independent and constrained
refinement
 $\Delta\rho_{\max} = 1.31$ e Å⁻³
 $\Delta\rho_{\min} = -1.21$ e Å⁻³

Table 1
Hydrogen-bond geometry (Å, °).

$D-\text{H}\cdots A$	$D-\text{H}$	$\text{H}\cdots A$	$D\cdots A$	$D-\text{H}\cdots A$
O4—H4 \cdots O7 ⁱ	0.78 (8)	1.95 (8)	2.715 (5)	169 (7)
O8—H8 \cdots O3 ⁱⁱ	0.87 (7)	1.8 (5)	2.712 (5)	175 (6)
O12—H12 \cdots O2	0.77 (8)	1.87 (8)	2.597 (5)	158 (10)
N1—H1N \cdots O4 ⁱⁱⁱ	0.74 (6)	2.23 (6)	2.963 (6)	174 (7)
N1—H2N \cdots O8 ^{iv}	0.91 (8)	2.49 (7)	2.972 (6)	114 (6)
N1—H3N \cdots O7	0.86 (6)	2.09 (7)	2.847 (5)	147 (8)
N1—H4N \cdots O11 ^v	0.95 (8)	2.11 (8)	3.056 (7)	172 (7)
N2—H1 \cdots O6 ^{vi}	0.77 (7)	2.33 (8)	2.867 (3)	128 (9)
N2—H1 \cdots O8 ^{vi}	0.77 (7)	2.59 (7)	3.236 (4)	143 (7)
N2—H2 \cdots O6 ^{vii}	0.85 (9)	2.27 (10)	2.867 (3)	127 (8)
N2—H2 \cdots O10 ^{vii}	0.85 (9)	2.55 (9)	3.371 (3)	163 (7)

Symmetry codes: (i) $-x, -y + 1, -z + 1$; (ii) $-x - 1, -y + 1, -z + 1$; (iii) $x - 1, y + 1, z - 1$; (iv) $-x - 1, -y + 1, -z$; (v) $x, y + 1, z - 1$; (vi) $x + 1, y, z$; (vii) $-x, -y, -z + 1$.

Data collection: *CAD-4 EXPRESS* (Duisenberg, 1992; Maciček & Yordanov, 1992); cell refinement: *CAD-4 EXPRESS*; data reduction: *XCAD4* (Harms & Wocadlo, 1995); program(s) used to solve structure: *SHELXS97* (Sheldrick, 2008); program(s) used to refine structure: *SHELXL97* (Sheldrick, 2008); molecular graphics: *DIAMOND* (Brandenburg & Putz, 2001); software used to prepare material for publication: *WinGX* (Farrugia, 2012) and *publCIF* (Westrip, 2010).

Supporting information for this paper is available from the IUCr electronic archives (Reference: BR2238).

References

- Baur, W. H. (1974). *Acta Cryst.* **B30**, 1195–1215.
- Bircsak, Z. & Harrison, W. T. A. (1998). *Acta Cryst.* **C54**, 1195–1197.
- Brandenburg, K. & Putz, H. (2001). *DIAMOND*. Crystal Impact GbR, Bonn, Germany.
- Brown, I. D. & Altermatt, D. (1985). *Acta Cryst.* **B41**, 244–247.
- Duisenberg, A. J. M. (1992). *J. Appl. Cryst.* **25**, 92–96.
- Ewald, B., Prots, Y. M., Zhang, H. & Kniep, R. (2004). *Z. Kristallogr.* **219**, 343–344.
- Farrugia, L. J. (2012). *J. Appl. Cryst.* **45**, 849–854.

- Filaretov, A. A., Zhizhin, M. G., Olenev, A. V., Gurkin, A. A., Bobylev, A. P., Lazoryak, B. I., Danilov, V. P. & Komissarova, L. N. (2002). *Russ. J. Inorg. Chem.* **47**, 1773–1789.
- Guesdon, A., Sarria, F. R., Tenailleau, C. & Raveau, B. (2009). *Solid State Sci.* **11**, 349–357.
- Gurbanova, O. A., Belokoneva, E. L., Dimitrova, O. V. & Al'-Ama, A. G. (2001). *Russ. J. Inorg. Chem.* **46**, 1302–1307.
- Harms, K. & Wocadlo, S. (1995). XCAD4. University of Marburg, Germany.
- Haushalter, R. C., Wang, Z., Thompson, M. E. & Zubietta, J. (1995). *Inorg. Chim. Acta*, **232**, 83–89.
- Huang, Y. X., Li, M. R., Mi, J. X., Mao, S. Y., Chen, H. H. & Zhao, J. T. (2004). *Chin. J. Inorg. Chem.* **20**, 1191–1196.
- Lesage, J., Adam, L., Guesdon, A. & Raveau, B. (2007). *J. Solid State Chem.* **180**, 1799–1808.
- Lii, K.-H. & Wu, L.-S. (1994). *J. Chem. Soc. Dalton Trans.* pp. 1577–1580.
- Macíček, J. & Yordanov, A. (1992). *J. Appl. Cryst.* **25**, 73–80.
- Mao, S. Y., Li, M. R., Mi, J. X., Chen, H. H., Deng, J. F. & Zhao, J. T. (2002). *Z. Kristallogr.* **217**, 311–312.
- Menezes, P. W., Hoffmann, S., Prots, Y. & et Kniep, R. (2009a). *Z. Anorg. Allg. Chem.* **65**, 33–35.
- Menezes, P. W., Hoffmann, S., Prots, Y. & Kniep, R. (2008). *Z. Kristallogr.* **223**, 321–322.
- Menezes, P. W., Hoffmann, S., Prots, Y. & Kniep, R. (2009b). *Z. Kristallogr.* **224**, 21–23.
- Nespolo, M. (2001). CHARDI-IT. Laboratoire CRM², Université Henri Poincaré, Nancy I, France.
- Nespolo, M., Ferraris, G., Ivaldi, G. & Hoppe, R. (2001). *Acta Cryst. B* **57**, 652–664.
- North, A. C. T., Phillips, D. C. & Mathews, F. S. (1968). *Acta Cryst. A* **24**, 351–359.
- Schwendtner, K. & Kolitsch, U. (2004a). *Acta Cryst. C* **60**, i79–i83.
- Schwendtner, K. & Kolitsch, U. (2004b). *Acta Cryst. C* **60**, i84–i88.
- Sheldrick, G. M. (2008). *Acta Cryst. A* **64**, 112–122.
- Stalder, S. M. & Wilkinson, A. P. (1998). *J. Mater. Chem.* **8**, 261–263.
- Vencato, I., Mattievich, E., Moreira, L. deF. & Mascarenhas, Y. P. (1989). *Acta Cryst. C* **45**, 367–371.
- Villars, P., Cenzual, K., Daams, J., Gladyshevskii, R., Shcherban, O., Dubenskyy, V., Melnichenko-Koblyuk, N., Pavlyuk, O., Savsyuk, I., Stoyko, S. & Sysa, L. (2007). *Landolt-Börnstein – Group III, Condensed Matter*, **A543**, 375–381.
- Westrip, S. P. (2010). *J. Appl. Cryst.* **43**, 920–925.
- Wildner, M. (1992). *Z. Kristallogr.* **202**, 51–70.
- Yakubovich, O. V. (1993). *Kristallografiya*, **38**, 43–48.
- Yan, W., Yu, J., Shi, Z. & Xu, R. (2000). *Chem. Commun.* pp. 1431–1432.

supporting information

Acta Cryst. (2014). E70, i21–i22 [doi:10.1107/S1600536814008691]

$\alpha\text{-NH}_4\text{Fe}(\text{HAsO}_4)_2$

Najoua Ouerfelli, Amira Souilem, Mohamed Faouzi Zid and Ahmed Driss

S1. Comment

L'un des principaux problèmes de la science et de la technologie moderne est la synthèse de nouveaux matériaux multifonctionnels. Ces dernières décennies, un grand intérêt est porté sur l'étude des phosphates acides de formulation générale $M^{\text{I}}M^{\text{III}}(\text{HPO}_4)_2$ qui sont caractérisés par leurs polymorphismes et leurs variétés structurelles. Vu l'importante ressemblance structurale entre les phosphates et les arsénates, et que ces derniers sont très peu étudiés (seuls trois composés ont été publiés). Nous avons choisis d'explorer le système arséniate acide de fer à cation monovalent. À cet égard, le présent travail porte sur l'étude structurale du premier arséniate acide de fer, $\alpha\text{-NH}_4\text{Fe}(\text{HAsO}_4)_2$.

Une étude bibliographique a été effectuée sur la famille de composés de formulation $M^{\text{I}}M^{\text{III}}(\text{HXO}_4)_2$ où A est un cation monovalent (Li, Na, K, Rb, Cs, Ag, NH₄ et H₃O); M est un m⁺ *et al.* trivalent (Fe, V, In, Ga, Al et Sc) et X peut être un phosphore ou un arsenic. D'après la littérature, les monophosphates de la famille $M^{\text{I}}M^{\text{III}}(\text{HPO}_4)_2$, cristallisent dans quatre systèmes cristallins à savoir, le triclinique, monoclinique, orthorhombique et le trigonal et adoptent six groupes d'espaces différents.

On dénombre essentiellement sept monophosphates cristallisant dans le système triclinique de groupe d'espace *P-1*, notés par la forme α . Ces composés sont NH₄Fe(HPO₄)₂ (Yakubovich, 1993); $\alpha\text{-RbFe}(\text{HPO}_4)_2$ et $\alpha\text{-CsIn}(\text{HPO}_4)_2$ (Lesage *et al.*, 2007); $\alpha\text{-RbV}(\text{HPO}_4)_2$ (Lii & Wu, 1994; Haushalter *et al.*, 1995; Lesage *et al.*, 2007); $\alpha\text{-NH}_4\text{V}(\text{HPO}_4)_2$ (Bircsak & Harrison, 1998); NH₄(Al_{0.64}Ga_{0.36})(HPO₄)₂ (Stalder & Wilkinson, 1998); (H₃O)Al(HPO₄)₂ (Yan *et al.*, 2000).

Cristallisant dans le système monoclinique, groupe d'espace *P2₁/c*, on peut citer les phosphates: $\beta\text{-RbV}(\text{HPO}_4)_2$ et $\beta\text{-NH}_4\text{V}(\text{HPO}_4)_2$ (Haushalter *et al.*, 1995); $\beta\text{-CsIn}(\text{HPO}_4)_2$ (Huang *et al.*, 2004); CsSc(HPO₄)₂ (Menezes *et al.*, 2008); RbSc(HPO₄)₂ et (NH₄)Sc(HPO₄)₂ (Menezes *et al.*, 2009b); (H₃O)Fe(HPO₄)₂ (Vencato *et al.*, 1989); AIn(HPO₄)₂ (A= K, Rb, NH₄ et Ag) (Mao *et al.*, 2002; Filaretov *et al.* 2002; Guesdon *et al.*, 2009) et finalement une phase non-centrosymétrique NaSc(HPO₄)₂ (Ewald *et al.*, 2004). Dans le système orthorhombique, on distingue deux phosphates: LiIn(HPO₄)₂ (*Pmn*, Guranova *et al.*, 2001) et le KSc(HPO₄)₂ (*Pnma*; Menezes *et al.*, 2009a). Parmis cette famille de phosphates on rencontre trois composés cristallisant dans le système rhomboédrique notamment: RbFe(HPO₄)₂ (Lii & Wu, 1994; Villars *et al.*, 2007); RbGa(HPO₄)₂ et RbAl(HPO₄)₂ (Lesage *et al.*, 2007).

Comparés à leurs homologues phosphates, les monoarsénates sont très peu étudiés. Une étude bibliographique révèle seulement l'existence de trois composés. Ils cristallisent dans trois groupes d'espaces différents. Deux formes déjà vues dans les monophosphates, $\alpha\text{-CsSc}(\text{HAsO}_4)_2$ et $\beta\text{-CsSc}(\text{HAsO}_4)_2$ (Schwendtner & Kolitsch, 2004b). La troisième forme représente une nouvelle structure non rencontrée dans les monophosphates, KSc(HAsO₄)₂ (Schwendtner & Kolitsch, 2004a). Elle cristallise dans le groupe d'espace *C2/c*.

La structure de $\alpha\text{-NH}_4\text{Fe}(\text{HAsO}_4)_2$, isotype à de nombreuses autres phases à savoir NH₄Fe(HPO₄)₂ (Yakubovich, 1993) et $\alpha\text{-CsSc}(\text{HAsO}_4)_2$ (Schwendtner & Kolitsch, 2004b). Elle est formée d'une charpente tridimensionnelle construite à partir des octaèdres FeO₆ et des groupements hydroxyarsénates HAsO₄ partageant des sommets oxygène.

L'unité asyétrique de la charpente anionique du composé étudié (Fig. 1a) est formée d'un cycle comprenant deux octaèdres FeO_6 partageant chacun ses six sommets oxygène avec respectivement six tétraèdres HAsO_4 différents. Le centre d'inversion situé sur l'atome Fe1 donne lieu à un dimère (nouvelle unité centrosymétrique de formule $\text{Fe}_3\text{O}_6[\text{HAsO}_4]_6$) (Fig. 1b).

Dans cette dernière l'octaèdre central Fe1O_6 partage ses six sommets oxygène avec respectivement six tétraèdres HAsO_4 de la même unité, alors que les deux autres octaèdres Fe2O_6 partagent chacun trois de leurs sommets avec trois groupements hydroxyarséniates de la même unité. Les trois autres sommets sont mis en commun avec respectivement trois groupements appartenant à trois unités adjacentes. Par cette disposition on remarque que chaque tétraèdre partage deux de ses sommets avec deux octaèdres de la même unité, le troisième avec un octaèdre d'une autre unité et le dernier sommet ne participe pas de manière directe à la charpente anionique mais il forme le groupement hydroxyle.

Ces unités centrosymétriques sont connectées selon la direction *c* (Fig. 2), formant ainsi des rubans $[\text{Fe}_3\text{O}_6[\text{HAsO}_4]_6]_\infty$. La jonction de ces rubans selon *a* et *b*, conduit à une charpente ouverte tridimensionnelle présentant de nombreux tunnels entrecroisés où logent les cations ammonium (Fig. 2, 3 et 4).

Les figures 2 et 3 montrent l'existence de deux types de tunnels dirigés respectivement selon *a* et *b*. Dans le premier type, les tunnels présentent des sections internes délimitées par quatre octaèdres FeO_6 et quatre tétraèdres de manière alternée, contenant les cations $\text{N}1\text{H}_4$. Un deuxième type de tunnels, délimités par quatre arêtes appartenant à deux tétraèdres HAsO_4 et deux octaèdres FeO_6 , contenant les cations $\text{N}2\text{H}_4^+$.

Un seul type de tunnel est observé selon la direction *c*. Ces derniers, contenant les cations $\text{N}1\text{H}_4$ et $\text{N}2\text{H}_4$ (Fig. 4), ont des sections plus larges que ceux observés selon les deux autres directions.

Les géométries des polyèdres sont conformes à celles rencontrées dans les structures de même formulation (Yakubovich, 1993; Lesage *et al.*, 2007; Schwendtner & Kolitsch 2004*a*, 2004*b*; Lii & Wu, 1994). Les valeurs moyennes pour les distances Fe–O sont 2,014 Å et 2,007 Å respectivement pour Fe1 et Fe2. Les distances moyennes As–O sont de 1,690 Å, 1,686 Å et 1,695 Å dans les groupements hydroxyarséniates respectivement As1, As2 et As3. La liaison la plus longue As–O, correspond au groupement hydroxyle. Ces derniers sont orientées selon les directions des atomes d'oxygène les plus proches pour former des liaisons hydrogène fortes. D'autre part, le calcul des valences de liaisons (BVS), utilisant la formule empirique de Brown (Brown & Altermatt, 1985), conduit aux valeurs des charges des cations suivants: Fe1(3,050), Fe2(3,089), As1(4,880), As2(4,937) et As3(4,821).

La géométrie des groupements ammonium est conforme avec celles rencontrées dans la littérature (Filaretov *et al.*, 2002; Yakubovich, 1993; Bircsak & Harrison, 1998; Stalder & Wilkinson, 1998; Haushalter *et al.*, 1995; Menezes *et al.*, 2009*b*).

Le degré global de distortion des différents polyèdres de coordination par rapport à leurs homologues réguliers est évalué à la fois par le nombre de coordination effectif ECoN (Nespolo, 2001 & Nespolo *et al.*, 2001) ainsi que les indices de distortion ID (Baur, 1974 & Wildner, 1992). Les groupements HAsO_4 sont relativement réguliers $\text{ECoN} \simeq 3,96$. L'octaèdre Fe1O_6 est légèrement distordu comparé à Fe2O_6 avec ECoN (Fe2) 5,867 et ECoN (Fe1) 5,995. Les indices de distortion pour les différents polyèdres sont de l'ordre de 1 à 2%. Une légère distortion de 4% est relevée au niveau des angles O—Fe1—O et O—As1—O.

Le composé étudié $\alpha\text{-NH}_4\text{Fe}(\text{HAsO}_4)_2$ est isostructural à la forme $\alpha\text{-CsSc}(\text{HAsO}_4)_2$ (Schwendtner & Kolitsch, 2004*b*). En effet, la comparaison de la structure avec celles de $\beta\text{-CsSc}(\text{HAsO}_4)_2$ et de $\text{KSc}(\text{HAsO}_4)_2$ (Schwendtner & Kolitsch, 2004*a*), montre que: dans le composé $\beta\text{-CsSc}(\text{HAsO}_4)_2$ ($P2_1/c$), l'unité centrosymétrique est formée par quatre tétraèdres (HAsO_4) et deux octaèdres ScO_6 . Ces unités se propagent selon [0-11] et [01-1] par mise en commun des sommets oxygène, formant ainsi une charpente tridimensionnelle avec un seul type de tunnels larges parallèles à *a* où logent les cations monovalents (Fig. 5).

Dans le composé $KSc(HAsO_4)_2$ ($C2/c$), l'unité centrosymétrique est formée par deux tétraèdres et deux octaèdres de manière alternée (Fig. 6). L'enchainement de ces unités selon c par mise en commun des sommets oxygène, conduit à une charpente tridimensionnelle. Il apparaît dans cette dernière, un premier type de tunnels selon [-101] de section relativement importante de forme hexagonale (Fig. 7a), deux autres de section moins importante sont dirigés selon [1-10] (Fig. 7b).

S2. Experimental

La synthèse de la phase α - $NH_4Fe(HAsO_4)_2$ a été réalisée par voie hydrothermale. Elle consiste à préparer une solution aqueuse contenant les réactifs suivants; 0,31 g de $NaBO_3 \cdot 4H_2O$ (FLUKA), 0,90 g de $(NH_4)_3Fe(C_2O_4)_3 \cdot 3H_2O$ (ACROS) et l'acide $As_2O_5 \cdot 7H_2O$ (PROLABO) (quantité suffisante jusqu'à $pH=1$). Le mélange ainsi obtenu est légèrement chauffé sous agitation magnétique. On obtient alors une solution limpide de couleur verdâtre. Elle est placée ensuite dans un autoclave à 453 K. Des cristaux de forme parallélépipédique de couleur verdâtre apparaissent au bout de trois semaines.

S3. Refinement

Les atomes autres que l'hydrogène ont été affinés en anisotrope. Il en résulte des ellipsoïdes bien définis. Les positions des atomes H ont été déterminées par séries de Fourier-différence. Les distances O4—H4, O8—H8, O12—H12, N1—H2N, N1—H3N et N1—H4N, ont été fixées à 0,80 Å par l'option *DFIX* du programme *SHELXL97* (Sheldrick, 2008). N2 occupe un centre d'inversion, et par conséquent ses quatre protons doivent être en désordre sur au moins deux ensembles équivalents de sites. Les deux atomes d'hydrogène relatifs à N2, situé, sur un centre d'inversion, ont été par conséquent supprimés des figures. Les contraintes $U_{iso}(H) = 1,5 U_{eq}(C)$ ont été appliquées pour les atomes H8, H2N, H3N et H4N. Les U_{iso} des atomes H restant ont été affinés sans contrainte. De plus, les densités d'électrons maximum et minimum restants dans la Fourier-différence sont acceptables et sont situées respectivement à 0,78 Å de O12 et à 0,91 Å de As2.

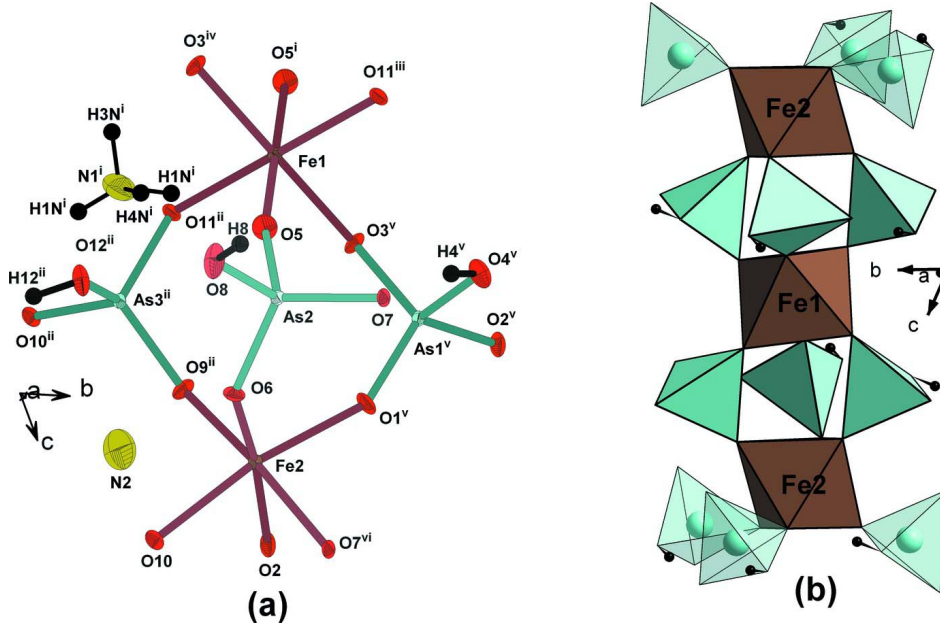
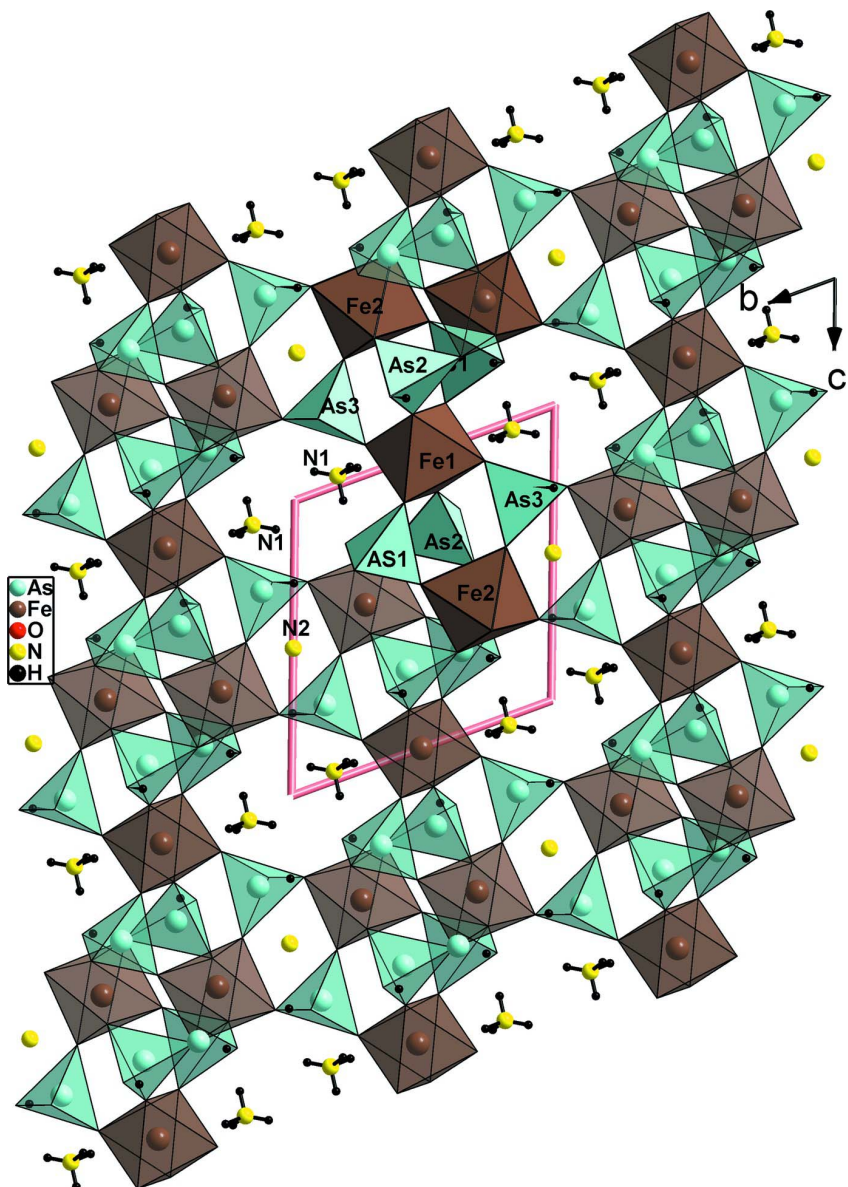


Figure 1

(a) Unité asymétrique dans le composé α - $NH_4Fe(HAsO_4)_2$. Les deux atomes d'hydrogène relatifs à N2, situé sur un centre d'inversion, ont été supprimés. Les ellipsoïdes ont été définis avec 50% de probabilité. [Symmetry codes: (i) $-x, -y + 1, -z$; (ii) $-x, -y, -z + 1$; (iii) $x, y + 1, z - 1$; (iv) $x, y, z - 1$; (v) $-x, -y + 1, -z + 1$; (vi) $-x - 1, -y + 1, -z + 1$]. (b): Nouvelle unité centrosymétrique dans le composé α - $NH_4Fe(HAsO_4)_2$.

**Figure 2**

Projection de la structure de $\alpha\text{-NH}_4\text{Fe}(\text{HAsO}_4)_2$ selon a , où l'unité centrosymétrique est indiquée en gras.

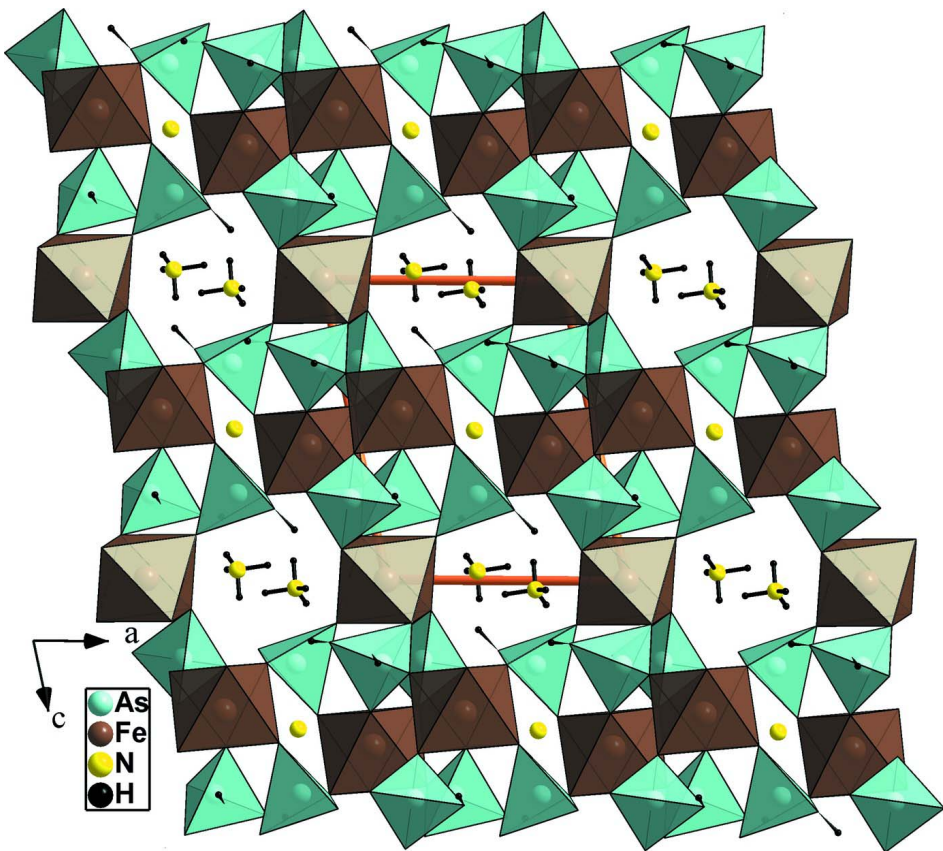
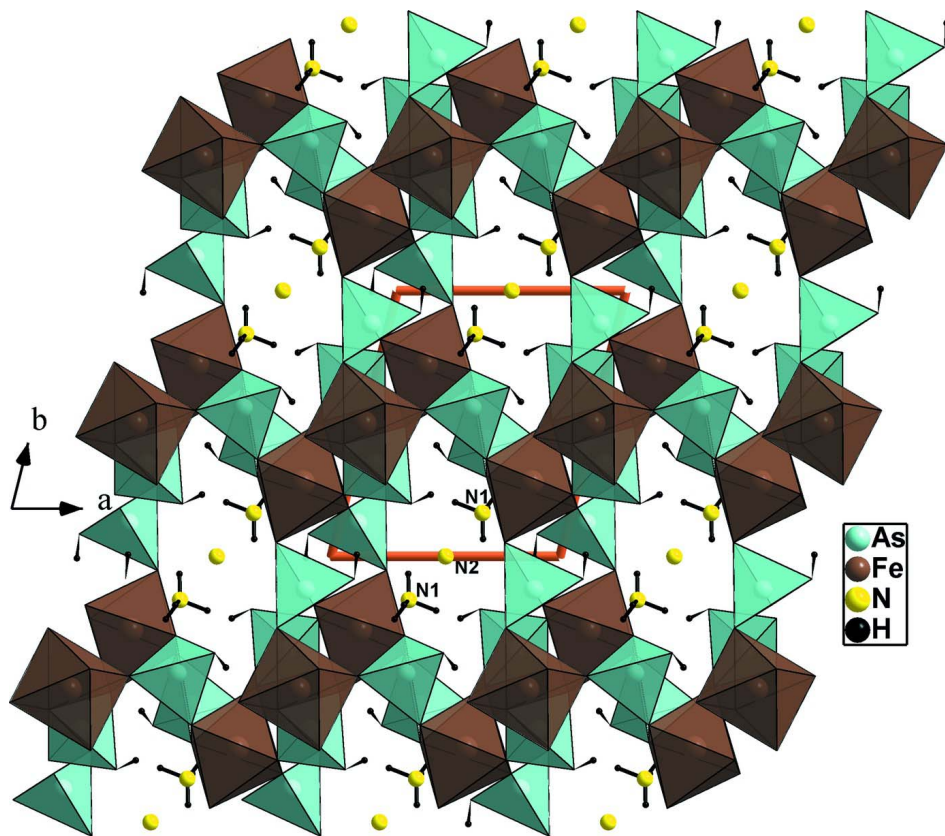
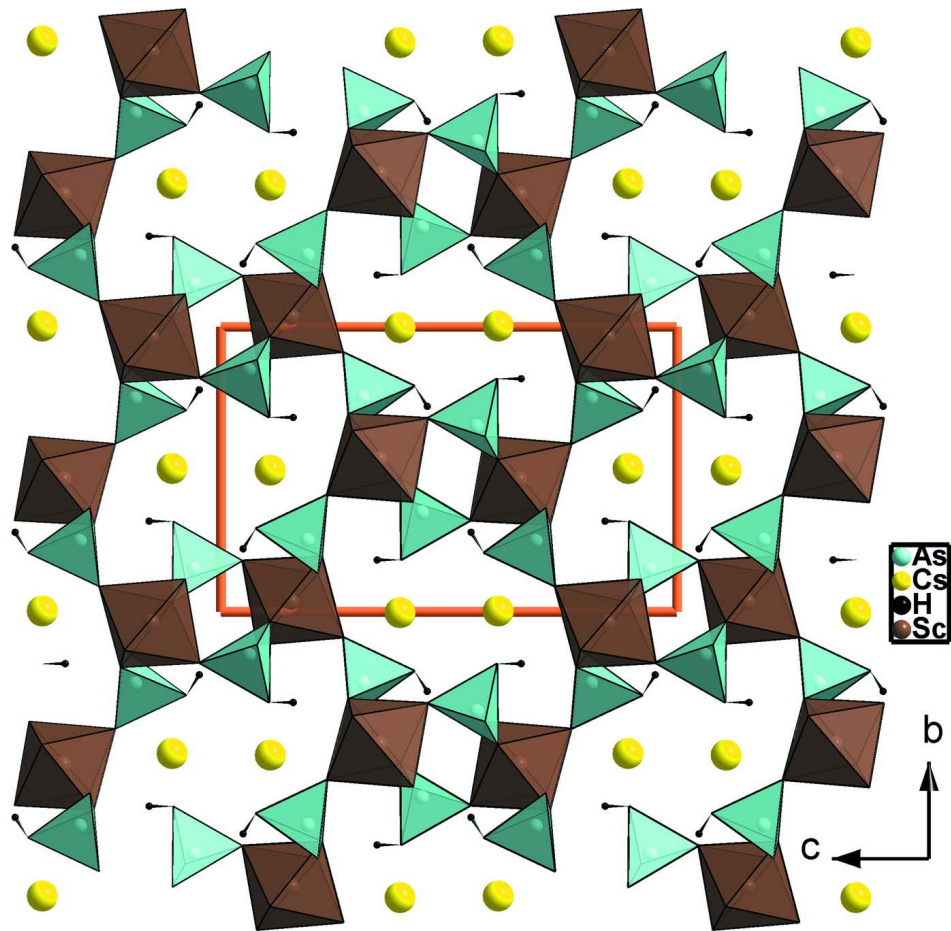


Figure 3

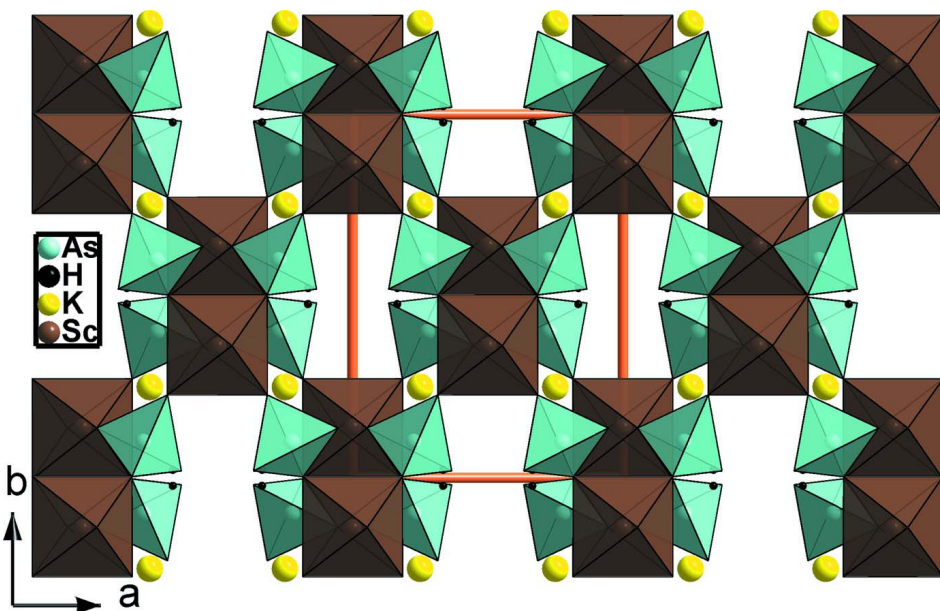
Projection de la structure de $\alpha\text{-NH}_4\text{Fe}(\text{HAsO}_4)_2$ selon b .

**Figure 4**

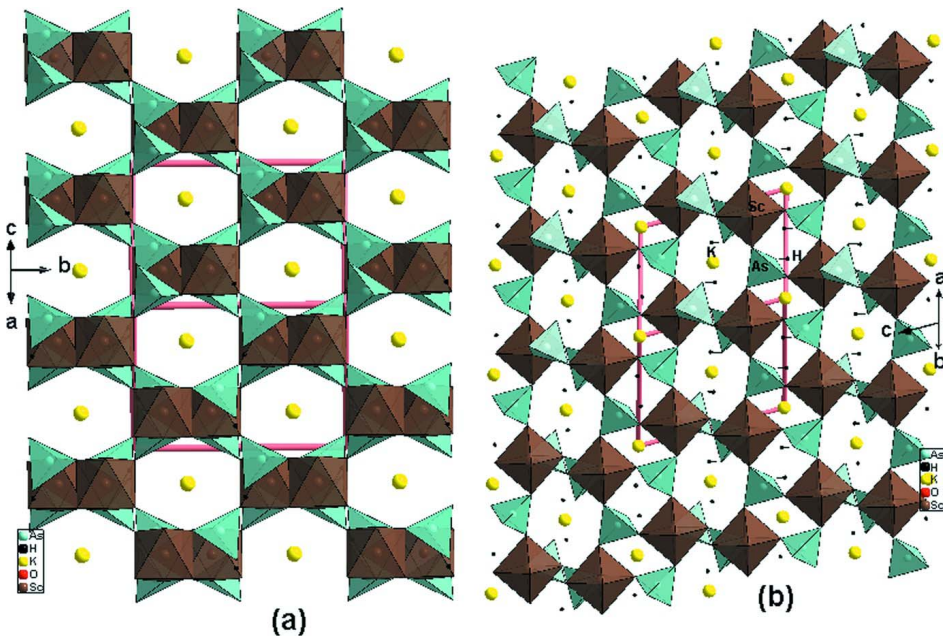
Projection de la structure de $\alpha\text{-NH}_4\text{Fe}(\text{HAsO}_4)_2$ selon c .

**Figure 5**

Projection de la structure de $\beta\text{-CsSc}(\text{HAsO}_4)_2$ selon a .

**Figure 6**

Projection de la structure de $\text{KSc}(\text{HAsO}_4)_2$ selon c .

**Figure 7**

(a): Projection de la structure de $\text{KSc}(\text{HAsO}_4)_2$ selon $[-101]$, (b): Projection de la structure de $\text{KSc}(\text{HAsO}_4)_2$ selon $[1-10]$.

Poly[ammonium bis(μ -hydrogen arsenato)ferrate(III)]

Crystal data

$(\text{NH}_4)\text{Fe}(\text{HAsO}_4)_2$

$M_r = 353.75$

Triclinic, $P\bar{1}$

Hall symbol: -P 1

$a = 7.3473 (7)$ Å

$b = 9.1917 (8)$ Å

$c = 9.7504 (9)$ Å

$\alpha = 64.545 (5)^\circ$

$\beta = 70.710 (7)^\circ$
 $\gamma = 69.638 (6)^\circ$
 $V = 544.55 (9) \text{ \AA}^3$
 $Z = 3$
 $F(000) = 507$
 $D_x = 3.236 \text{ Mg m}^{-3}$
Mo $K\alpha$ radiation, $\lambda = 0.71073 \text{ \AA}$

Cell parameters from 25 reflections
 $\theta = 11\text{--}15^\circ$
 $\mu = 11.14 \text{ mm}^{-1}$
 $T = 298 \text{ K}$
Prism, green
 $0.21 \times 0.13 \times 0.09 \text{ mm}$

Data collection

Enraf–Nonius CAD-4
diffractometer

Radiation source: fine-focus sealed tube

Graphite monochromator

$\omega/2\theta$ scans

Absorption correction: ψ scan
(North *et al.*, 1968)

$T_{\min} = 0.187$, $T_{\max} = 0.388$

2737 measured reflections

2373 independent reflections
2121 reflections with $I > 2\sigma(I)$
 $R_{\text{int}} = 0.021$
 $\theta_{\max} = 27.0^\circ$, $\theta_{\min} = 2.4^\circ$
 $h = -9 \rightarrow 1$
 $k = -11 \rightarrow 10$
 $l = -12 \rightarrow 11$
2 standard reflections every 120 min
intensity decay: 1.1%

Refinement

Refinement on F^2

Least-squares matrix: full

$R[F^2 > 2\sigma(F^2)] = 0.027$

$wR(F^2) = 0.075$

$S = 1.05$

2373 reflections

197 parameters

8 restraints

Primary atom site location: structure-invariant
direct methods

Secondary atom site location: difference Fourier
map

Hydrogen site location: inferred from

neighbouring sites

H atoms treated by a mixture of independent
and constrained refinement

$w = 1/[\sigma^2(F_o^2) + (0.0471P)^2 + 0.7636P]$
where $P = (F_o^2 + 2F_c^2)/3$

$(\Delta/\sigma)_{\max} < 0.001$

$\Delta\rho_{\max} = 1.31 \text{ e \AA}^{-3}$

$\Delta\rho_{\min} = -1.21 \text{ e \AA}^{-3}$

Extinction correction: *SHELXL97* (Sheldrick,
2008), $F_c^* = kFc[1 + 0.001xFc^2\lambda^3/\sin(2\theta)]^{-1/4}$

Extinction coefficient: 0.0048 (7)

Special details

Geometry. All e.s.d.'s (except the e.s.d. in the dihedral angle between two l.s. planes) are estimated using the full covariance matrix. The cell e.s.d.'s are taken into account individually in the estimation of e.s.d.'s in distances, angles and torsion angles; correlations between e.s.d.'s in cell parameters are only used when they are defined by crystal symmetry. An approximate (isotropic) treatment of cell e.s.d.'s is used for estimating e.s.d.'s involving l.s. planes.

Refinement. Refinement of F^2 against ALL reflections. The weighted R -factor wR and goodness of fit S are based on F^2 , conventional R -factors R are based on F , with F set to zero for negative F^2 . The threshold expression of $F^2 > \sigma(F^2)$ is used only for calculating R -factors(gt) etc. and is not relevant to the choice of reflections for refinement. R -factors based on F^2 are statistically about twice as large as those based on F , and R -factors based on ALL data will be even larger.

Fractional atomic coordinates and isotropic or equivalent isotropic displacement parameters (\AA^2)

	x	y	z	$U_{\text{iso}}^*/U_{\text{eq}}$
As1	0.09249 (5)	0.34877 (4)	0.71870 (4)	0.00566 (12)
As2	-0.45289 (5)	0.44127 (5)	0.28294 (4)	0.00549 (12)
As3	-0.07805 (5)	-0.12510 (5)	0.73233 (4)	0.00590 (12)
Fe1	0.0000	0.5000	0.0000	0.00598 (17)
Fe2	-0.20467 (8)	0.27790 (6)	0.55734 (6)	0.00606 (14)
O1	0.1837 (4)	0.4902 (3)	0.5577 (3)	0.0124 (6)
O2	-0.0136 (4)	0.2332 (3)	0.6883 (3)	0.0118 (6)

O3	-0.0679 (4)	0.4228 (3)	0.8563 (3)	0.0106 (6)
O4	0.2932 (4)	0.1977 (4)	0.7903 (4)	0.0144 (6)
O5	-0.2458 (4)	0.4507 (4)	0.1459 (3)	0.0168 (6)
O6	-0.4073 (4)	0.2983 (3)	0.4539 (3)	0.0097 (5)
O7	-0.5723 (4)	0.6355 (3)	0.2809 (3)	0.0084 (5)
O8	-0.5950 (5)	0.3629 (4)	0.2345 (4)	0.0183 (7)
O9	-0.0227 (4)	-0.1830 (4)	0.5791 (3)	0.0121 (6)
O10	-0.2573 (4)	0.0526 (3)	0.7080 (3)	0.0090 (5)
O11	-0.1595 (4)	-0.2693 (3)	0.8989 (3)	0.0103 (6)
O12	0.1255 (5)	-0.0844 (4)	0.7510 (4)	0.0149 (6)
N1	-0.6133 (8)	0.8363 (6)	-0.0303 (6)	0.0304 (10)
N2	0.5000	0.0000	0.5000	0.0386 (18)
H4	0.371 (10)	0.243 (9)	0.782 (8)	0.05 (2)*
H8	-0.707 (10)	0.427 (8)	0.210 (8)	0.058*
H12	0.113 (14)	0.010 (8)	0.719 (10)	0.08 (3)*
H1N	-0.644 (8)	0.926 (8)	-0.075 (7)	0.019 (15)*
H2N	-0.644 (11)	0.751 (8)	-0.034 (8)	0.052*
H4N	-0.474 (9)	0.793 (9)	-0.048 (8)	0.055*
H3N	-0.626 (11)	0.814 (9)	0.067 (7)	0.055*
H1	0.455 (12)	0.095 (7)	0.475 (9)	0.051*
H2	0.437 (12)	-0.035 (11)	0.466 (9)	0.055*

Atomic displacement parameters (\AA^2)

	U^{11}	U^{22}	U^{33}	U^{12}	U^{13}	U^{23}
As1	0.0062 (2)	0.0047 (2)	0.0058 (2)	-0.00148 (14)	-0.00020 (14)	-0.00233 (15)
As2	0.0052 (2)	0.0054 (2)	0.0050 (2)	-0.00081 (14)	0.00030 (14)	-0.00243 (15)
As3	0.0065 (2)	0.00420 (19)	0.0058 (2)	-0.00022 (14)	-0.00039 (14)	-0.00223 (15)
Fe1	0.0067 (4)	0.0055 (4)	0.0040 (3)	-0.0008 (3)	0.0005 (3)	-0.0019 (3)
Fe2	0.0065 (3)	0.0055 (3)	0.0052 (3)	-0.0007 (2)	0.0000 (2)	-0.0025 (2)
O1	0.0149 (14)	0.0061 (13)	0.0104 (14)	-0.0042 (11)	0.0007 (11)	0.0011 (11)
O2	0.0157 (14)	0.0069 (13)	0.0166 (14)	-0.0025 (11)	-0.0078 (12)	-0.0045 (11)
O3	0.0096 (13)	0.0125 (14)	0.0108 (14)	0.0011 (11)	-0.0007 (11)	-0.0092 (12)
O4	0.0094 (14)	0.0092 (14)	0.0209 (16)	0.0003 (11)	-0.0065 (12)	-0.0018 (12)
O5	0.0137 (15)	0.0158 (15)	0.0149 (15)	-0.0045 (12)	0.0064 (12)	-0.0062 (13)
O6	0.0122 (13)	0.0104 (13)	0.0060 (12)	-0.0028 (11)	-0.0046 (10)	-0.0005 (10)
O7	0.0094 (13)	0.0048 (12)	0.0079 (13)	-0.0007 (10)	0.0022 (10)	-0.0033 (11)
O8	0.0156 (15)	0.0141 (15)	0.0337 (19)	0.0005 (12)	-0.0142 (14)	-0.0126 (14)
O9	0.0125 (14)	0.0144 (14)	0.0104 (13)	-0.0013 (11)	0.0004 (11)	-0.0089 (12)
O10	0.0064 (12)	0.0064 (12)	0.0093 (13)	0.0012 (10)	-0.0011 (10)	-0.0011 (11)
O11	0.0125 (13)	0.0062 (13)	0.0066 (13)	-0.0009 (11)	0.0009 (10)	-0.0003 (11)
O12	0.0144 (14)	0.0074 (14)	0.0250 (17)	-0.0016 (12)	-0.0086 (13)	-0.0052 (13)
N1	0.038 (3)	0.021 (2)	0.018 (2)	0.003 (2)	-0.008 (2)	-0.0013 (19)
N2	0.054 (5)	0.030 (4)	0.040 (4)	-0.028 (4)	-0.003 (4)	-0.011 (4)

Geometric parameters (\AA , $\text{\textit{\AA}}$)

As1—O1	1.661 (3)	Fe2—O1 ^v	1.971 (3)
As1—O2	1.680 (3)	Fe2—O6	1.976 (3)
As1—O3	1.683 (3)	Fe2—O2	2.025 (3)
As1—O4	1.735 (3)	Fe2—O10	2.040 (3)
As2—O5	1.660 (3)	Fe2—O7 ^{vi}	2.067 (3)
As2—O6	1.673 (3)	O1—Fe2 ^v	1.971 (3)
As2—O7	1.688 (3)	O3—Fe1 ^{vii}	2.068 (3)
As2—O8	1.724 (3)	O4—H4	0.78 (6)
As3—O9	1.677 (3)	O7—Fe2 ^{vi}	2.067 (3)
As3—O11	1.677 (3)	O8—H8	0.87 (6)
As3—O10	1.683 (3)	O9—Fe2 ⁱⁱ	1.959 (3)
As3—O12	1.743 (3)	O11—Fe1 ^{viii}	2.020 (3)
Fe1—O5 ⁱ	1.952 (3)	O12—H12	0.77 (7)
Fe1—O5	1.952 (3)	N1—H1N	0.74 (6)
Fe1—O11 ⁱⁱ	2.020 (3)	N1—H2N	0.90 (6)
Fe1—O11 ⁱⁱⁱ	2.020 (3)	N1—H4N	0.95 (6)
Fe1—O3 ^{iv}	2.068 (3)	N1—H3N	0.86 (6)
Fe1—O3 ^v	2.068 (3)	N2—H1	0.77 (6)
Fe2—O9 ⁱⁱ	1.959 (3)	N2—H2	0.85 (6)
O1—As1—O2	114.30 (15)	O9 ⁱⁱ —Fe2—O6	95.61 (12)
O1—As1—O3	115.11 (14)	O1 ^v —Fe2—O6	94.53 (12)
O2—As1—O3	108.14 (14)	O9 ⁱⁱ —Fe2—O2	87.36 (12)
O1—As1—O4	107.20 (14)	O1 ^v —Fe2—O2	92.29 (12)
O2—As1—O4	100.18 (14)	O6—Fe2—O2	172.23 (12)
O3—As1—O4	110.91 (14)	O9 ⁱⁱ —Fe2—O10	93.83 (11)
O5—As2—O6	111.33 (15)	O1 ^v —Fe2—O10	169.74 (12)
O5—As2—O7	108.39 (14)	O6—Fe2—O10	87.51 (11)
O6—As2—O7	116.50 (13)	O2—Fe2—O10	85.13 (11)
O5—As2—O8	106.49 (16)	O9 ⁱⁱ —Fe2—O7 ^{vi}	174.07 (12)
O6—As2—O8	103.50 (15)	O1 ^v —Fe2—O7 ^{vi}	86.46 (11)
O7—As2—O8	110.12 (14)	O6—Fe2—O7 ^{vi}	89.57 (11)
O9—As3—O11	111.89 (14)	O2—Fe2—O7 ^{vi}	87.14 (12)
O9—As3—O10	109.73 (14)	O10—Fe2—O7 ^{vi}	83.49 (11)
O11—As3—O10	108.13 (13)	As1—O1—Fe2 ^v	149.07 (18)
O9—As3—O12	111.73 (15)	As1—O2—Fe2	135.82 (16)
O11—As3—O12	108.73 (14)	As1—O3—Fe1 ^{vii}	127.03 (15)
O10—As3—O12	106.41 (14)	As1—O4—H4	107 (6)
O5 ⁱ —Fe1—O5	180.00 (19)	As2—O5—Fe1	166.94 (19)
O5 ⁱ —Fe1—O11 ⁱⁱ	88.09 (12)	As2—O6—Fe2	126.17 (16)
O5—Fe1—O11 ⁱⁱ	91.91 (12)	As2—O7—Fe2 ^{vi}	131.78 (15)
O5 ⁱ —Fe1—O11 ⁱⁱⁱ	91.91 (12)	As2—O8—H8	118 (5)
O5—Fe1—O11 ⁱⁱⁱ	88.09 (12)	As3—O9—Fe2 ⁱⁱ	141.22 (17)
O11 ⁱⁱ —Fe1—O11 ⁱⁱⁱ	180.00 (17)	As3—O10—Fe2	122.77 (14)
O5 ⁱ —Fe1—O3 ^{iv}	92.76 (12)	As3—O11—Fe1 ^{viii}	126.26 (15)
O5—Fe1—O3 ^{iv}	87.24 (12)	As3—O12—H12	109 (7)

O11 ⁱⁱ —Fe1—O3 ^{iv}	91.51 (11)	H1N—N1—H2N	128 (6)
O11 ⁱⁱⁱ —Fe1—O3 ^{iv}	88.49 (11)	H1N—N1—H4N	114 (6)
O5 ⁱ —Fe1—O3 ^v	87.24 (12)	H2N—N1—H4N	97 (6)
O5—Fe1—O3 ^v	92.76 (12)	H1N—N1—H3N	114 (7)
O11 ⁱⁱ —Fe1—O3 ^v	88.49 (11)	H2N—N1—H3N	105 (7)
O11 ⁱⁱⁱ —Fe1—O3 ^v	91.51 (11)	H4N—N1—H3N	94 (6)
O3 ^{iv} —Fe1—O3 ^v	180.00 (11)	H1—N2—H2	104 (6)
O9 ⁱⁱ —Fe2—O1 ^v	95.98 (12)		

Symmetry codes: (i) $-x, -y+1, -z$; (ii) $-x, -y, -z+1$; (iii) $x, y+1, z-1$; (iv) $x, y, z-1$; (v) $-x, -y+1, -z+1$; (vi) $-x-1, -y+1, -z+1$; (vii) $x, y, z+1$; (viii) $x, y-1, z+1$.

Hydrogen-bond geometry (\AA , $^\circ$)

D—H···A	D—H	H···A	D···A	D—H···A
O4—H4···O7 ^v	0.78 (8)	1.95 (8)	2.715 (5)	169 (7)
O8—H8···O3 ^{vi}	0.87 (7)	1.8 (5)	2.712 (5)	175 (6)
O12—H12···O2	0.77 (8)	1.87 (8)	2.597 (5)	158 (10)
N1—H1N···O4 ^{ix}	0.74 (6)	2.23 (6)	2.963 (6)	174 (7)
N1—H2N···O8 ^x	0.91 (8)	2.49 (7)	2.972 (6)	114 (6)
N1—H3N···O7	0.86 (6)	2.09 (7)	2.847 (5)	147 (8)
N1—H4N···O11 ⁱⁱⁱ	0.95 (8)	2.11 (8)	3.056 (7)	172 (7)
N2—H1···O6 ^{xi}	0.77 (7)	2.33 (8)	2.867 (3)	128 (9)
N2—H1···O8 ^{xi}	0.77 (7)	2.59 (7)	3.236 (4)	143 (7)
N2—H2···O6 ⁱⁱ	0.85 (9)	2.27 (10)	2.867 (3)	127 (8)
N2—H2···O10 ⁱⁱ	0.85 (9)	2.55 (9)	3.371 (3)	163 (7)

Symmetry codes: (ii) $-x, -y, -z+1$; (iii) $x, y+1, z-1$; (v) $-x, -y+1, -z+1$; (vi) $-x-1, -y+1, -z+1$; (ix) $x-1, y+1, z-1$; (x) $-x-1, -y+1, -z$; (xi) $x+1, y, z$.

Distortion parameters ECoN and ID for the coordination polyhedra around Fe and As.

Polyedra	ECoN	ID _d	ID _a	ID _o
Fe1O ₆	5.869	0.019	0.042	0.023
Fe2O ₆	5.910	0.020	0.023	0.018
As1O ₄	3.963	0.013	0.038	0.021
As2O ₄	3.969	0.012	0.023	0.019
As3O ₄	3.964	0.014	0.016	0.010

ID_d=[$\sum_{i=1}^{n1} (|d_i - d_m|)/n_1 d_m$]; ID_a=[$\sum_{i=1}^{n2} (|a_i - a_m|)/n_2 a_m$] and ID_o=[$\sum_{i=1}^{n2} (|o_i - o_m|)/n_2 o_m$]. d,a, o signify Fe/As—O bond distance, O—Fe/As—O angle and O—O edge within the relevant polyhedron; index i indicates individual values, index m the mean value for the polyhedron. n1 and n2 are 4 and 6 for the arsenate tetrahedra and 6 and 12 for the iron octahedral.